

А. И. ПИЛЬЩИКОВ, Г. Ф. ЗАХАРОВ

ПАРАМЕТРИЧЕСКОЕ ВОЗБУЖДЕНИЕ СПИНОВЫХ ВОЛН
В МОНОКРИСТАЛЛАХ ФЕРРИТОВ С БОЛЬШОЙ
АНИЗОТРОПИЕЙ

Энергия кристаллографической анизотропии оказывает значительное влияние на условия параметрического возбуждения спиновых волн первого порядка ($\omega_k = \omega/2$, где ω_k — частота спиновой процессии, ω — частота поля накачки) [1—6].

В работах [4—8] показано, что для материалов с малой анизотропией ($\frac{|K_1|}{M} < M$, здесь K_1 — первая константа анизотропии, M — магнитный момент) пороговое поле и спектр параметрических спиновых волн становятся анизотропными как по направлению намагничивания, так и по поляризации и ориентации СВЧ-поля накачки h .

Так, в отличие от оси $\langle 001 \rangle$ для оси $\langle 111 \rangle$ имеется анизотропия пороговых полей и спектра при перпендикулярной накачке по направлению поля h относительно плоскости $(1\bar{1}0)$.

При определенных условиях возбуждения (направление намагничивания, величина постоянного поля H_0 , ориентация h относительно H_0 , близость ω к частоте ферромагнитного резонанса) лишь параллельная составляющая СВЧ-поля при произвольной накачке определяет пороговое поле и спектр параметрических спиновых волн.

При значительном увеличении кристаллографической анизотропии ($\frac{|K_1|}{M} > M$) появляются новые особенности спектра и пороговых полей параметрических волн, которые рассматриваются в данной работе.

§ 1. Спектр спиновых волн. Для насыщенных монокристаллов ферритов кубической симметрии с малой кристаллографической анизотропией влияние энергии анизотропии на спектр термических спиновых волн проявляется в снятии вырождения по углу φ_k :

$$\omega_k = (A_k^2 - |B_k|^2)^{1/2} = [(\gamma H_1 + \omega_M \sin^2 \theta_k) \gamma H_1 - N_1^* (N_1^* + \omega_M \sin^2 \theta_k \cos 2\varphi_k)]^{1/2}, \quad (1)$$

где

$$\gamma H_1 = \omega_H - \hat{\omega}_M N_z + \omega_{\sigma\sigma} k^2 + N_1; \quad A_k = \gamma H_1 + \frac{\omega_M}{2} \sin^2 \theta_k;$$

$$B_k = \frac{\omega_M}{2} \sin^2 \theta_k e^{2i\varphi_k} + N_1^*; \quad N_1^* = -\omega_a \left(2 - 10 \sin^2 \theta + \frac{15}{2} \sin^4 \theta \right);$$

$$N_1^* = \frac{3}{2} \omega_a \sin^2 \theta (2 - 3 \sin^2 \theta); \quad \omega_M = 4\pi M \gamma;$$

$$\hat{\omega}_M = \gamma M; \quad \omega_H = \gamma H_{0z}; \quad \omega_{\sigma\sigma} = \gamma D M; \quad \omega_a = \gamma \frac{|K_1|}{M};$$

$$H_{0z} = H_0 - \frac{1}{2} \left(\frac{K_1}{2M} \right)^2 \frac{1}{H_0} \sin^2 \theta (3 \sin^2 \theta - 2);$$

γ — гиромангнитное отношение, k, θ_k, φ_k — волновое число, полярный и азимутальный углы вектора распространения \mathbf{k} , H_0 расположено в плоскости $(1\bar{1}0)$, θ — угол между H_0 и M , D — константа обменного взаимодействия.

Из (1) следует, что происходит размытие линий спектра $\omega_k(\mathbf{k})$ с $\theta_k \neq 0^\circ$, т. е. вместо линии $\omega_k(\mathbf{k})$, соответствующей некоторому значению θ_k в изотропном случае, появляется полоса значений $\omega_k(k, \varphi_k)$ для данного θ_k в анизотропном образце (рис. 1).

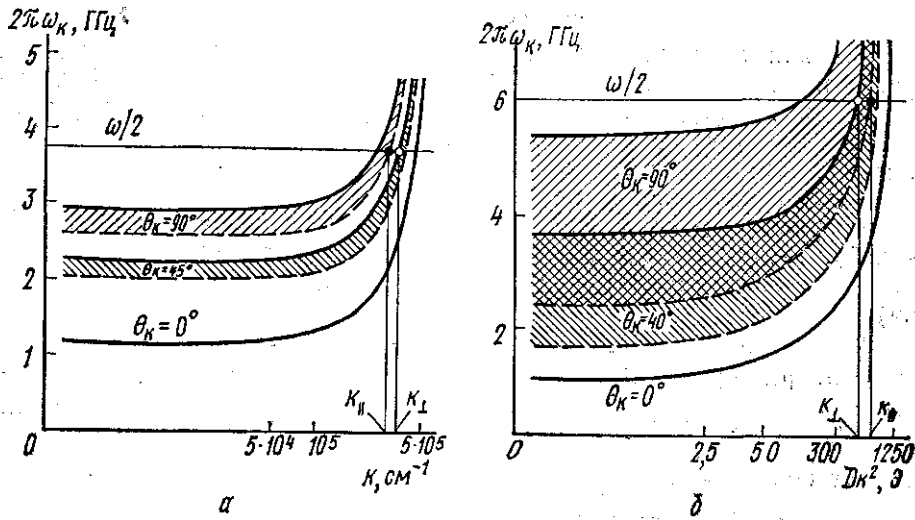


Рис. 1. Спектры спиновых волн для сфер: а — ИФГ ($4\pi M=1750$ Гс, $\frac{|K_1|}{M}=43$ Э, $H_0=1000$ Э, $D=5 \cdot 10^{-5}$ Э · см², $\langle 110 \rangle$); б — Ni-феррита ($4\pi M=3270$ Гс, $\frac{|K_1|}{M}=260$ Э, $H_0=1500$ Э, $\langle 110 \rangle$). Сплошные линии — $\varphi_k=0^\circ$, 180° ; пунктир — $\varphi_k=\pm 90^\circ$

В этом случае, как показывает численная минимизация порогового поля, при продольной ($\mathbf{h} \parallel H_0$) и поперечной ($\mathbf{h} \perp H_0$) накачках (\mathbf{h} лежит в плоскости $(1\bar{1}0)$, $H_0 \parallel \langle 110 \rangle$) возбуждаются спиновые волны с волновыми числами соответственно k_{\parallel} и k_{\perp} , причем (см. рис. 1)

$$k_{\parallel} < k_{\perp}. \tag{2}$$

При поле накачки, ориентированном под произвольным углом ψ (ψ — угол между \mathbf{h} и H_0 , \mathbf{h} по-прежнему лежит в плоскости (110)), будут возбуждаться спиновые волны с волновыми числами k_{ψ} :

$$k_{\parallel} \leq k_{\psi} \leq k_{\perp}.$$

Переход к монокристаллам ферритов с большой анизотропией ($K_1/M \geq M$) приводит к тому, что отмеченное размытие линий спектра $\theta_k = \text{const}$ спиновых волн по углу φ_k становится достаточным для перекрытия областей спектра с $\theta_k=90^\circ$ и $\theta_k \leq 45^\circ$, которые характерны для спиновых волн, возбуждаемых соответственно продольной и поперечной накачками (рис. 1).

При этом численная минимизация порогового поля показывает, что возбуждаются спиновые волны с

$$k_{\parallel} > k_{\perp}, \tag{3}$$

что противоположно выражению (2).

Поэтому можно ожидать, что при переходе от продольной к поперечной накачке могут появиться особенности изменения спектра и пороговых полей параметрических спиновых волн.

§ 2. Эллиптичность спиновых волн. При исследовании механизмов параметрического возбуждения важной характеристикой является эллиптичность спиновых волн ϵ_k (отношение полуосей эллипса прецессии намагниченности термической спиновой волны) [7]:

$$\epsilon_k = \left(\frac{A_k - |B_k|}{A_k + |B_k|} \right)^{1/2} = f(k, \theta_k, \varphi_k). \quad (4)$$

Так как нами рассматриваются процессы параметрического возбуждения спиновых волн первого порядка, то параметр k можно исключить из (4), учитывая условие $\omega_k(k, \theta_k, \varphi_k) = \omega/2$. Полученная зависимость $\epsilon_k(\theta_k, \varphi_k)$ может быть представлена в виде графика (рис. 2). При этом величина H_0 определяет значение волнового числа k , когда $k > 0$, или границы значений θ_k, φ_k , когда $k = 0$.

На рис. 2 приведена зависимость $\epsilon_k(\theta_k)$ при $K_1 = 0$ (изотропный случай). Видно, что ϵ_k при $K_1 = 0$ определяется только действием диполь-дипольного поля, причем при $\theta_k = 0^\circ$ $\epsilon_k = 1$ (круговая прецессия).

В анизотропном случае появляется зависимость ϵ_k от азимутального угла φ_k , причем для $\varphi_k = 0^\circ, 180^\circ$ при значении угла $\theta_k = \theta_k^*$ (для рассматриваемой оси $\langle 110 \rangle$), где $\sin^2 \theta_k^* = 3 \frac{|K_1|}{M} / 4\pi M$, эллиптичность $(\epsilon_k)_{\varphi_k = 0^\circ, 180^\circ} = 1$.

Такая особенность функции $\epsilon_k(\theta_k, \varphi_k)$ при значениях $\varphi_k = 0^\circ, 180^\circ$ и $\theta_k = \theta_k^*$ (для оси $\langle 110 \rangle$) связана с компенсацией действий поля

диполь-дипольного взаимодействия и поля кристаллографической анизотропии на спиновую прецессию, которая становится круговой.

Следует подчеркнуть, что здесь круговая прецессия ($\epsilon_k = 1$) соответствует некоторому углу $\theta_k^* \neq 0^\circ$, что существенно отличается от случая изотропного образца, когда условию $\epsilon_k = 1$ соответствуют спиновые волны с $\theta_k = 0^\circ$.

С другой стороны, как в изотропном, так и в анизотропном образце условие $\epsilon_k = 1$ означает отсутствие поперечной составляющей собственного магнитного поля, связанного с данной спиновой волной. Это означает невозможность параметрического возбуждения таких спиновых волн исходя из механизма двукратного преобразования частоты, предложенного в [9].

Поэтому области постоянных полей H_0 и условия возбуждения (направление и поляризация СВЧ-поля накачки), которые обеспечивают параметрическое возбуждение спиновых волн с эллиптичностью, близкой к $\epsilon_k = 1$, представляют особый инте-

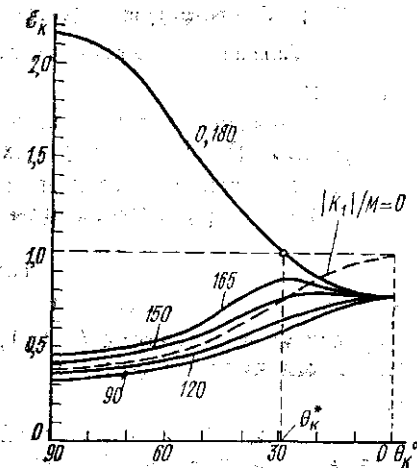


Рис. 2. Зависимость эллиптичности спиновых волн ϵ_k от θ_k при различных φ_k (сфера Ni-феррита, ось $\langle 110 \rangle$). Цифры при линиях указывают значения φ_k в градусах

рес, поскольку здесь можно ожидать появления особенностей спектра и пороговых полей параметрических спиновых волн.

§ 3. Расчет порогового поля для сферы Ni-феррита. Рассмотрим условия параметрического возбуждения спиновых волн первого порядка в сферическом монокристалле Ni-феррита ($\frac{|K_1|}{M} = 260 \text{ Э}, 4\pi M = 3270 \text{ Гс}$).

С помощью ЭВМ была проведена численная минимизация выражений для пороговых полей (в случае $\mathbf{H}_0 \parallel \langle 110 \rangle$, при этом линейно-поляризованное поле \mathbf{h} ориентировано в плоскости $(1\bar{1}0)$ под произвольным углом ψ к \mathbf{H}_0) [7]:

$$h_{\text{пор}} = \frac{\Delta H_k}{2} \frac{\omega}{|W|}, \text{ где } W = \frac{T_1 \omega + T_2 Y}{XY - \omega^2} \sin \psi + B_k \cos \psi;$$

$$T_1 = \frac{\omega_M}{2} \sin \theta_k \cos \theta_k \left[\left(A_k + \frac{\omega}{2} \right) e^{i\varphi_k} - \frac{B_k^2}{|B_k|^2} \left(A_k - \frac{\omega}{2} \right) e^{-i\varphi_k} + 2iB_k \sin \varphi_k \right];$$

$$T_2 = \frac{\omega_M}{2} \sin \theta_k \cos \theta_k \left[\left(A_k + \frac{\omega}{2} \right) e^{i\varphi_k} + \frac{B_k^2}{|B_k|^2} \left(A_k - \frac{\omega}{2} \right) e^{-i\varphi_k} - 2B_k \cos \varphi_k \right];$$

$$X = \omega_H - \omega_a; \quad Y = \omega_H + 2\omega_a.$$

Результаты расчета для сферы Ni-феррита, когда частота поля накачки $f_H = 9,4 \text{ ГГц}$, приведены на рис. 3—5 (предполагалось, что $\Delta H_k = \text{const}$, где ΔH_k — параметр затухания спиновых волн); цифры при линиях указывают значения ψ в градусах.

Спектр параметрических спиновых волн имеет следующие характерные особенности.

Зависимость $Dk^2(H_0)$ (рис. 3) при различных значениях ψ показывает, что для Ni-феррита действительно справедливо неравенство (3). Помимо этого, при переходе от угла $\psi = 90^\circ$ к $\psi = 0^\circ$ значения $(Dk^2)_\psi$ уменьшаются (при $H_0 = \text{const}$) до нуля, а затем скачком возрастают до значения $(Dk^2)_{\psi=0^\circ}$ (при той же величине H_0).

Такое изменение параметра $(Dk^2)_\psi$ спиновых волн полностью объясняется обсуждавшимся выше перекрытием областей анизотропного спектра спиновых волн для образцов с большой анизотропией.

Резкое изменение всех параметров θ_k , φ_k , Dk^2 волнового вектора $\mathbf{k}(k, \theta_k, \varphi_k)$ параметрических спиновых волн и относительного порогового поля $h_{\text{пор}}/\Delta H_k$ для угла накачки $\psi = 40^\circ$ при поле $H_0 \approx 1600 \text{ Э}$ (рис. 3—5) связано с переходом от условий параметрического возбуждения спиновых волн при преимущественном действии продольной составляющей СВЧ-поля (при $H_0 < 1600 \text{ Э}$) к условиям совместного действия продольной и поперечной накачек (при $H_0 > 1600 \text{ Э}$). Это явление проявляется и в образцах ферритов с малой анизотропией [7].

Из рассмотрения рис. 3—5 видно, что в области поля $H_0 = 2100 \text{ Э}$ также имеются резкие изменения параметров θ_k , φ_k (рис. 3, 4) и ме-

нее резко выраженные изменения относительных пороговых полей $h_{пор}/\Delta H_k$ (рис. 5) для углов $\psi=20^\circ, 30^\circ, 40^\circ$ и 60° . Физическая природа этого явления связана с невозможностью параметрического возбуждения спиновых волн с круговой поляризацией ($\epsilon_k=1$), которая обсуждалась выше.

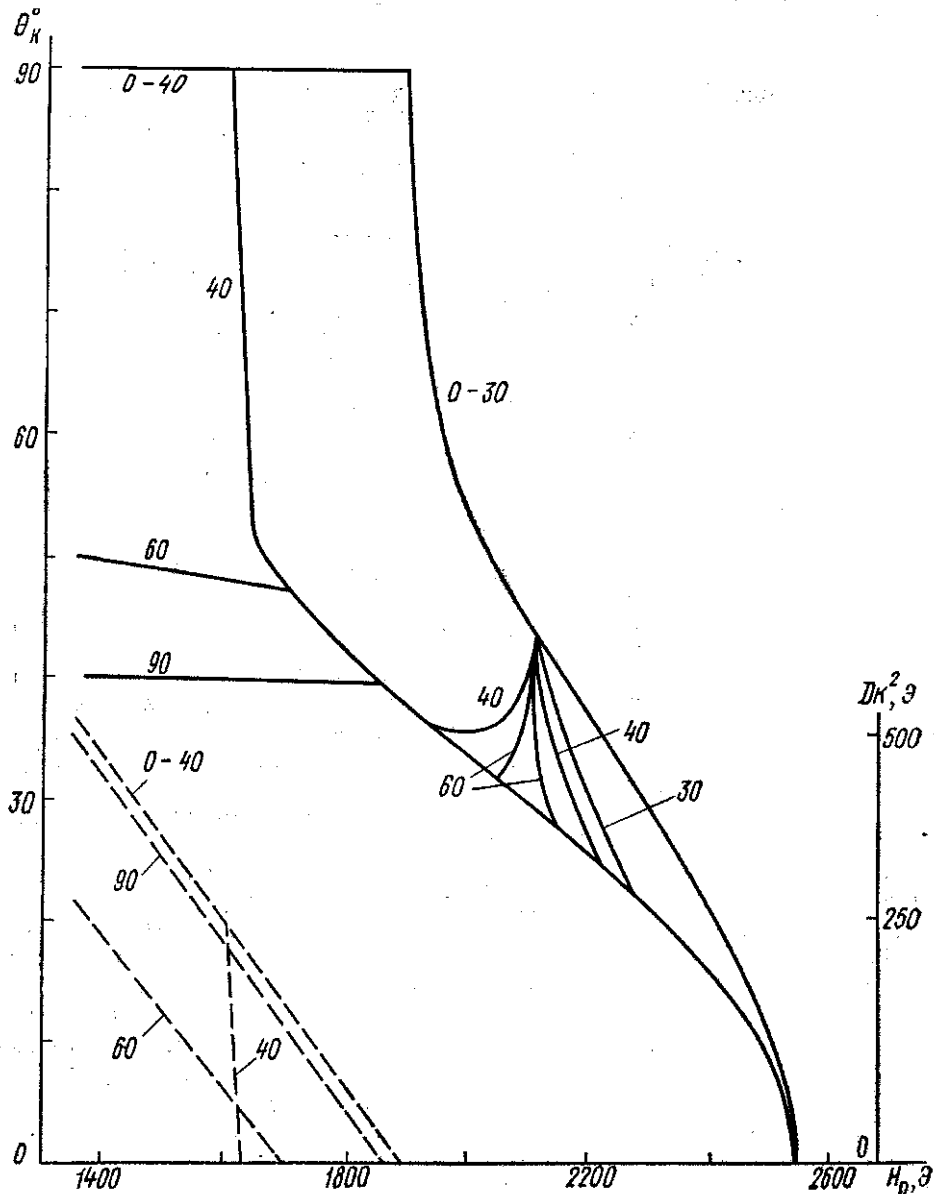


Рис. 3. Зависимость θ_k (сплошные линии) и Dk^2 (пунктир) от H_0 для различных ψ (сфера Ni-феррита, ось $\langle 110 \rangle$, $i_n=9,4$ ГГц)

Расчет показывает, что для Ni-феррита именно при поле $H_0=2100$ Э (при рассматриваемых условиях намагничивания) $\epsilon_k=1$ при $\theta_k^* \approx 30^\circ$, $\psi_k=0^\circ, 180^\circ$. Результаты минимизации показывают, что вблизи поля $H_0=2100$ Э возбуждаются спиновые волны, эллиптич-

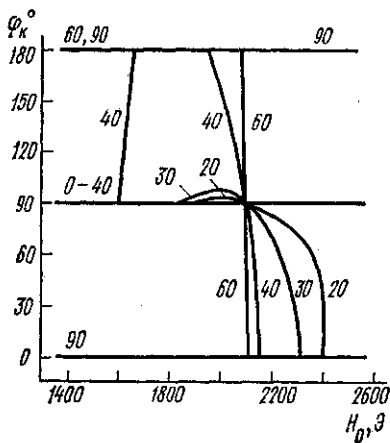


Рис. 4. Зависимость φ_k от H_0 для различных ψ (сфера Ni-феррита, ось $\langle 110 \rangle$, $f_H = 9,4$ ГГц)

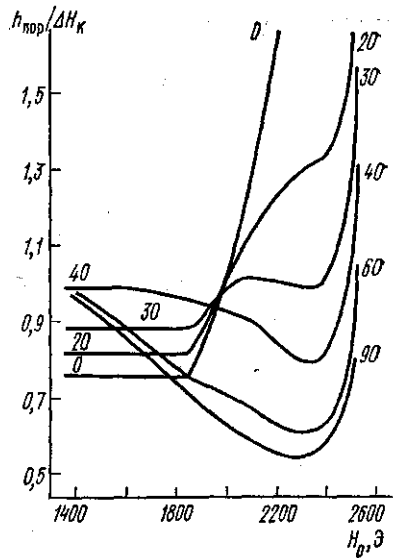


Рис. 5. Зависимость $h_{\text{пор}}/\Delta H_k$ от H_0 для различных ψ (сфера Ni-феррита, ось $\langle 110 \rangle$, $f_H = 9,4$ ГГц)

ность которых близка к единице. А при подходе к полю $H_0 = 2100$ Э значения θ_k и φ_k резко изменяются ($\varphi_k \rightarrow 90^\circ$, $\theta_k \rightarrow 45^\circ$), так как параметрическое возбуждение спиновых волн с $\varphi_k = 0^\circ$, 180° и $\theta_k = \theta_k^* = 30^\circ$, как показано выше, невозможно.

СПИСОК ЛИТЕРАТУРЫ

1. Китаев Л. В., Гончарова А. А., Катамаран Г. И. Физ. тв. тела, 1976, 9, № 1.
2. Яковлев Ю. М., Бурдин Ю. Н., Шильников Ю. Р., Бушуева Т. Н. Физ. тв. тела, 1970, 12, № 10, 3059.
3. Patton C. E. J. Appl. Phys., 1969, 40, 2837; 1970, 41, 431.
4. Яковлев Ю. М., Бурдин Ю. Н. Физ. тв. тела, 1974, 16, № 2, 466.
5. Петраковский Г. А. Изв. вузов. Физика, 1962, № 6, 29.
6. Пильщиков А. И., Захаров Г. Ф. Деп. ВИНТИ № 615-74, 1974.
7. Захаров Г. Ф. Канд. дис. М., 1975.
8. Пильщиков А. И., Захаров Г. Ф. Вестн. Моск. ун-та. Физ., астроном., 1977, 18, № 5, 131.
9. Гуревич А. Г. Ферриты на СВЧ. М., 1960.

Поступила в редакцию
19.04.78